

بررسی خواص ساختاری و ضد باکتری نانوذرات اکسید مس با ناخالصی آهن

تهیه شده به روش سل-ژل

حسینی مشهد طرقی، آسیه سادات^{۱,*}؛ شاه طهماسبی، ناصر^{۱,۲}؛ رضایی رکن آبادی، محمود^۱؛ مشرفی، منصور^۳؛ باقری محققی
محمد مهدی^۳؛ آذریز، الهه^{۱,۲}؛ مدادی، پری سادات^۱

^۱ گروه فیزیک، دانشکده علوم پایه، دانشگاه فردوسی مشهد، مشهد

^۲ مرکز پژوهشی علوم فناوری نانو، دانشگاه فردوسی مشهد، مشهد

^۳ گروه زیست شناسی، دانشکده علوم پایه، دانشگاه فردوسی مشهد، مشهد

دانشکده فیزیک، دانشگاه علوم پایه دامغان، دامغان

A_hoseini25@yahoo.com *

چکیده:

نانوذرات اکسید مس با درصد های مختلف ناخالصی آهن ($Cu_{1-x}Fe_xO$ ($x=0,0.05,0.10,0.15$)) توسط روش شیمیایی سل-ژل با اندازه متوسط ۴۰ نانومتر در دمای $400^{\circ}C$ تهیه شدند. آنالیز ساختاری و ریخت شناسی از نانوذرات بدست آمده به ترتیب توسط طیف پراش اشعه X و تصویر برداری میکروسکوپ الکترونی عبوری (TEM) انجام شد. مطالعات اپتیکی و بررسی طیف جانبی نانوذرات سنتز شده با استفاده از اسپکتروفوتومتر (UV-Vis) نشان می دهد که گاف انرژی اپتیکی نانوذرات بدست آمده، با افزایش درصد ناخالصی کاهش می یابد. در این تحقیق تأثیر افزودن ناخالصی آهن در ویژگی های ساختاری و ضد باکتری نمونه های مطالعه شد و برای بررسی خواص ضد باکتری نانوذرات $CuO:Fe$ ، از باکتری *Escherichia coli* (E. Coli) استفاده شده است.

کلید واژه: نانوذرات اکسید مس، سل-ژل، ضد باکتری، گاف انرژی اپتیکی

Investigation of structural and antibacterial properties of CuO:Fe nanoparticles prepared via sol-gel method

Hoseini Mashhad Toroghi, Asieh Sadat^{1,2*}; Shah Tahmasbi, Nasser^{1,2}; Mashreghi, Mansour³; Rezaei Roknabadi, Mahmood¹; Bagheri Mohagheghi, Mohamad Mahdi⁴; Azhir, Elahe^{1,2}; Madahi, Parisadat^{1,2}

¹ Department of physics, Ferdowsi University of Mashhad, Mashhad, Iran

² Nanoresearch Center, Ferdowsi University of Mashhad, Mashhad, Iran

³ Department of biology, Ferdowsi University of Mashhad, Mashhad, Iran

⁴ School of physics, Damghan University, Damghan, Iran

A_hoseini25@yahoo.com *

Abstract:

$Cu_{1-x}Fe_xO$ ($x=0,0.05,0.10,0.15$) nanoparticles with average particle size of 40 nm were prepared by sol-gel method. The obtained nanoparticles have been characterized by X-Ray Diffraction (XRD), Transmission Electron Microscopy (TEM) and UV-Vis Spectroscopy. Optical studies show that the Optical band gap of the samples decrease with doping. X-ray diffraction patterns of the samples confirm the presence of cupric oxide (CuO) phase. The effects of dopant level on the physical and antibacterial properties of the NPs have been investigated. The effect of dopant incorporation on antimicrobial activities of CuO:Fe nanoparticles on *Escherichia coli* (E. Coli) was investigated.

PACS NO: 61,6110,7867,8105

مقدمه:

باند انرژی ev $1/2-1/7$ در دمای اتاق و با پارامتر های شبکه $\beta = ۹۹/۵۴^{\circ}$ ، $a = ۴/۶۸۳۷ \text{ \AA}$ ، $c = ۱/۱۲۸۸ \text{ \AA}$ است [۲] در حالی که کوپروس اکساید یک نیم رسانای نوع P با ساختار شبکه تک میلی (monoclinic) دارای

دو شکل معمول اکسید مس، کوپروس اکساید (Cu_2O) و کوپریک اکساید (CuO) هستند [۱]. کوپریک اکساید یک نیم رسانای نوع P با ساختار شبکه تک میلی (monoclinic) دارای

آبی می باشد که با افزودن تدریجی نیترات آهن، محلول شفافی به رنگ سبز به دست می آید. از حمام روغن برای گرمادهی یکنواخت و غیر مستقیم استفاده شد. بعد از رفلاکس در محدوده دمای $90\text{--}110^\circ\text{C}$ به مدت ۴ ساعت، محلول همگنی حاصل شد که در نهایت بعد از حرارت دهی مستقیم در دمای 120°C به مدت ۷ ساعت و تبخر افزودنی ها از ژل سبز رنگ در حضور لامپ IR، ژل خشک شده ای بدست می آید که با قرار دادن آن به مدت ۱ ساعت داخل کوره در دمای 160°C پودر نهایی حاوی نانوذرات، بعد از آسیاب شدن به دست آمد.

مشخصه یابی:

مشخصه یابی ساختاری نمونه ها توسط طیف سنج پراش اشعه X مدل (D8 Adnance Bruker) در طول موج $0\text{--}154\text{ nm}$ (CuK α) و در محدوده $20^\circ \leq 2\theta \leq 80^\circ$ با گام 0.04° انجام شد. با استفاده از فرمول شرر [۱۵]، اندازه متوسط بلورک ها تخمین زده شد.

برای بررسی ویژگی های اپتیکی نانوذرات بدست آمده از اسپیکتروفوتومتر Uv-vis مدل (2950) در محدوده $300\text{--}1100\text{ nm}$ استفاده شد.

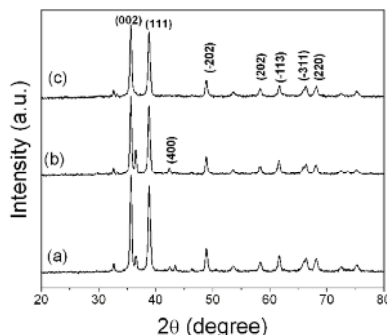
از میکروب الکترونی عبوری (TEM) مدل (LEO 912 AB) برای مشخص نمودن مورfolوژی و تعیین اندازه نانوذرات استفاده شد (شکل ۳).

جهت انجام تست ضدباکتری سوسپانسون حاوی نانوذرات (nanofluid) در آب دیونیزه با غلظت 1 g/l تهیه شد و بعد از قرار گرفتن در حمام اولتراسونیک به مدت 30 دقیقه یک مخلوط همگن به دست آمد، در نهایت سوسپانسیون حاوی نانوذرات برای استریل شدن به مدت 15 دقیقه در دمای 121°C اوتوفکلاو شد. آزمایش با اندازه گیری منحنی رشد باکتری گرم منفی $E.Coli$ (HB 101) در حضور نانوذرات انجام شد که پیشتر باکتری موردنظر در محیط کشت LB به مدت 24 ساعت قرار داده شد. برای انجام تست، تغییرات چگالی اپتیکی (Optical Density) بر حسب زمان، هر یک ساعت و با استفاده از دستگاه اسپیکتروفوتومتر مدل (WPA LightWave S2000) در طول موج 600 nm ارزیابی شد.

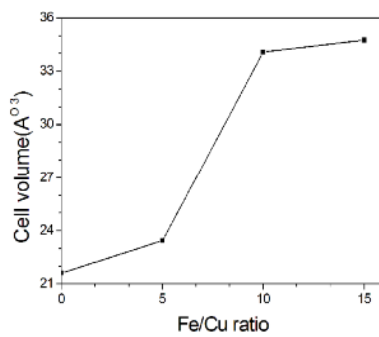
ساختار شبکه مکعبی با گاف انرژی مستقیم $2/0\text{ eV}$ است [۲, ۳]. ویژگی های بسیار خوب CuO موجب شده تا از آن در کاربرد های مختلفی همچون کاتالیست های غیرمتجانس، حسگرهای گازی، سویچ های نوری، سلول های خورشیدی، رسانه های ذخیره مغناطیسی، الکترود های لیتیوم-یون، ابزار نشر میدان و غیره استفاده گردد [۴-۸]. نانومواد اکسید فلزی همچون (Fe $_2$ O $_3$, FeO, Fe $_3$ O $_4$), اکسید آهن (CuO, Cu $_2$ O) و اکسید روی (ZnO) دارای ویژگی های فیزیکی-شیمیایی منحصر بفردی هستند که ناشی از تاثیر اندازه ی کوانتومی و سطح موثر وسیع می باشد به طوری که با حالت توده (Bulk) آنها متفاوت است [۹]. اخیرا از مواد آلی حاوی فلزات (نقره، مس، روی، تیتانیوم) به عنوان مواد ضد باکتری استفاده می شود. تاثیر ضدباکتری نانوذرات فلزی به دلیل اندازه بسیار کوچک و نسبت بالای سطح به حجم آنها است و این امکان را می دهد که مستقیما با غشاء میکروبی تماس داشته باشند و یون فلزی آزاد کنند [۱۰]. سنتز نانوذرات اکسید مس تاکنون توسط روش های مختلفی مانند سونوشیمیایی (sonochemical)، سل-ژل [۱۱, ۱۲]، الکتروشیمیایی [۱۳] و روش تجزیه گرمایی [۱۴] انجام شده است. تاکنون گزارشی مبنی بر تاثیر افزودن اکسید آهن (Fe $_2$ O $_3$) در اکسید مس به عنوان ناخالصی و به منظور بررسی خاصیت ضد باکتری مشاهده نشده است. در این تحقیق سنتز نانوذرات اکسید مس با درصد های مختلف اکسید آهن (CuO:Fe) توسط روش سل-ژل با موفقیت انجام شد و علاوه بر ویژگی های ساختاری و اپتیکی، فعالیت های ضدباکتری نانوذرات نیز بررسی شد.

روش کار:

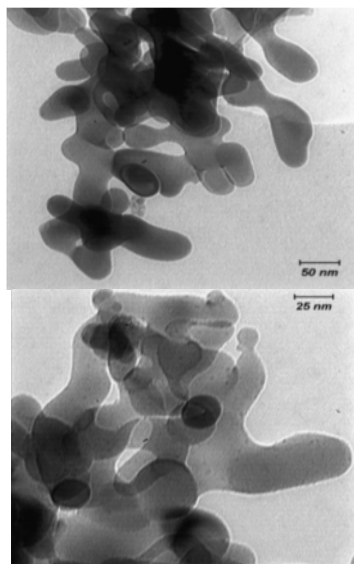
برای سنتز نانوذرات اکسید مس با ناخالصی آهن از طریق سل-ژل، از آب دیونیزه و اتانول (C $_2$ H $_5$ OH, Merck, $\geq 99.9\%$) به نسبت مولی $1:1$ به عنوان حلال، نیترات مس [Cu(NO $_3$) $_2$.3H $_2$ O] و نیترات آهن [Fe(NO $_3$) $_3$.6H $_2$ O] به عنوان مواد شروع کننده و اسید سیتریک و اتیلن گلیکول به ترتیب به عنوان عامل کمپلکس ساز و پلیمرساز استفاده شد. محلول در دمای اتاق به مدت ۱ ساعت توسط همزن مغناطیسی همزده شد. رنگ محلول بدون اضافه کردن نیترات آهن



شکل ۱. طیف XRD نانوذرات اکسید مس با ۵% (a)، ۱۰% (b) و ۱۵% (c) نانوذرات آهن



شکل ۲. نمودار حجم سلول واحد براساس درصدهای مختلف آهن



شکل ۳. تصاویر TEM نانوذرات CuO:Fe 10%

مطالعه اپتیکی:

شکل ۴ جذب اپتیکی نمونه ها را در دمای اتاق در محدوده طول موج ۱۰۰۰-۳۰۰۰ nm نشان می دهد. گاف انرژی اپتیکی نانوذرات با استفاده از رابطه تاواک ($\alpha h\nu = A(h\nu - E_g)^n$) محاسبه

نتایج و بحث:

مطالعه ساختاری

شکل ۱ طیف XRD نمونه های تهیه شده در دمای ۴۰۰ °C را نشان می دهد. مطابق با گزارشات [۱۶] دو پیک ارجح به ترتیب در $2\theta = 35/6 = 20^\circ$ مربوط به صفحه [۰۰۲] و $2\theta = 38/8 = 45^\circ$ در صفحه [۱۱۱] مشاهده می شوند که حاکی از حضور فاز اکسید مس (ساختارتک میلی) با گروه فضایی C2/0 می باشد. همانطور که دیده می شود در نمونه های دارای ۵ و ۱۰٪ آهن به عنوان ناخالصی پیک [۰۰۴] قابل مشاهده است در حالی که با افزایش ناخالصی تا ۱۵٪ این پیک حذف شده است. در نمونه ی با ۱۵٪ آهن، یون Fe^{+3} کاملا در شبکه CuO قرار گرفته است و علت این امر را می توان مربوط به نزدیکی شعاع های یونی آنها دانست ($0.64 nm$ برای اتم مس و $0.73 nm$ برای اتم آهن). برای بررسی بیشتر پارامتر های شبکه ($a \neq b \neq c$, $a = \beta = 90^\circ \neq \gamma$) رابطه زیر محاسبه شد. نمودار تغییر حجم سلول شبکه براساس نسبت Fe/Cu در شکل ۲ رسم شده است.

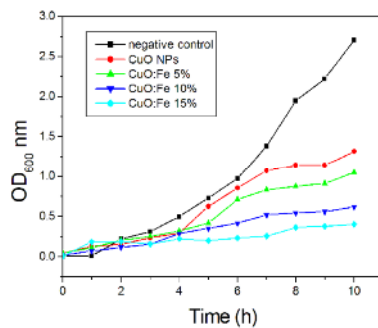
$$\frac{1}{d^2} = \frac{1}{\sin^2 \beta} \left(\frac{h^2}{a^2} + \frac{k^2 \sin^2 \beta}{b^2} + \frac{l^2}{c^2} - \frac{2hl \cos \beta}{ac} \right)$$

$$V = abc \sin \beta$$

به طوری که d فاصله بین صفحات بلوری h,k,l اندیس های میلر، a,b,c,β پارامترهای شبکه و V حجم سلول واحد است [۱۷]. نتایج شکل ۲ نشان می دهد افزودن Fe_2O_3 به CuO باعث افزایش حجم سلول واحد می شود.

شکل ۳ تصویر TEM نمونه تهیه شده با ۱۰٪ ناخالصی را نشان می دهد. یک انبیاشتگی از نانوذرات قابل مشاهده است که تشکیل نانوذرات اکسید مس را مطابق با نتایج طیف XRD نشان می دهد. گستره اندازه نانوذرات nm ۳۰-۶۰ می باشد.

بررسی شد. طیف XRD تشکیل ساختار تکمیلی اکسید مس را نشان می دهد. مطالعات جذب اپتیکی نشان می دهد که با افزایش درصد ناخالصی، گاف اپتیکی کاهش می یابد. از تصویربرداری به روش TEM برای مطالعه مورفولوژی و اندازه نانوذرات استفاده شد که در توافق با نتایج XRD می باشد. بررسی آزمایشات انجام شده نشان می دهد که با افزایش ناخالصی در نمونه ها ، فعالیت ضد باکتری نانوذرات بیشتر می شود.

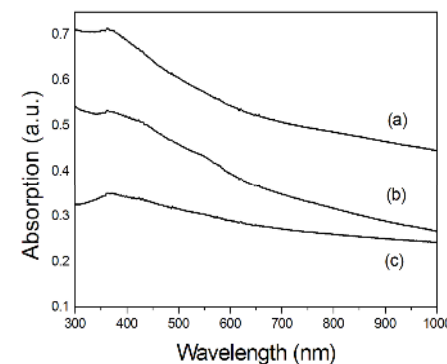


شکل ۵. منحنی رشد باکتری E.Coli در حضور نانوذرات اکسید مس با درصد های مختلفی از ناخالصی آهن

مراجع:

- [1] E. M. Alkoy and P. J. Kelly, *Vacuum*, **79**, 221 (2005).
- [2] Ildia Armelao et al, *Thin Solid Films* **442** (2003) 48-52.
- [3] F. Marabelli, G.B. Parraviciny, F.S. Drioli, *Phys. Rev. B* **52** (1995) 1433.
- [4] J.A. Switzer, et al., *Nature* **425** (2003) 490
- [5] A. Chowdhuri, V. Gupta, K. Sreenivas, R. Kumar, S. Mozumdar, P.K. Patanjali, *Appl. Phys. Lett.* **84** (2004) 1180.
- [6] X.P. Gao, et al, *J. Phys. Chem. B* **108** (2004) 5547
- [7] C.T. Hsieh, J.M. Chen, et al, *Appl. Phys. Lett.* **83** (2003) 3383.
- [8] J. Chen, S. Deng, N. Xu, W. Zhang, X.S. Yang, *Appl. Phys. Lett.* **83** (2003) 746
- [9] Zhanhu Guo et al, *Composites Science and Technology* **67** (2007)
- [10] Morones JR, et al, *Nanotechnology*, **16**: 23 2005; 46– 2036–2044.
- [11] Kumar RV, Diamant Y, Gedanken A. *Chem Mater* 2000;12:2301
- [12] Kumar RV, Elgamiel R, Diamant Y, Gedanken A, Norwig J. *Langmuir* 2000;17:140
- [13] Xu JF, Ji W, Shen ZX, Tang SH, Ye XR, Jia DZ, et al. *J Solid State Chem* 2000;147:516.
- [14] Borgohain K, et al, *Phys Rev* 2000;61:11093
- [15] Cullity BD. Elements of X-ray Diffraction. Reading MA: Addison- Wesley; 1978
- [16] JCPDS card no. 45-937,19
- [17] Ratish K. Bedi,Iqbal Singh, *Applied material and interfaces*, **2**, NO. 5 (2010) 1361–1368

شد. در این رابطه α همان ضریب جذب اپتیکی ، $h\nu$ انرژی فوتون فرودی ، A یک ثابت و E_g گاف انرژی است. برای نیم رساناهای با گذار مستقیم $n=1/2$ می باشد. با استفاده از طیف UV-vis نمودار $(\alpha h\nu)^2$ را برحسب $h\nu$ رسم کرده، گاف E_g انرژی به دست می آید. گاف اپتیکی نانوذرات اکسید مس نسبت به حالت توده (bulk) آن بزرگتر است و این به دلیل محدودیت های کوانتومی ناشی از اندازه ذرات است.



شکل ۴. منحنی جذب اپتیکی نانوذرات حاوی a)5% b)10% c)15% ناخالصی آهن

در شکل ۴ یک جذب بیشینه در محدوده ای طول موج 400 nm قابل مشاهده است. نتایج نشان می دهد که گاف انرژی اپتیکی با افزایش نسبت Fe/Cu کاهش می یابد.

مطالعه اثرات ضدباکتری:

شکل ۵ منحنی رشد باکتری گرم منفی (*E.Coli* (HB 101) را در حضور نانوذرات طی ۱۰ ساعت نشان می دهد که با افزودن درصد ناخالصی آهن تا ۱۵٪ ، رشد باکتری تا حد قابل توجهی کند شده است. مکانیزم ضد باکتری نانوذرات اکسید مس به عملکرد یون های Cu^{+2} نسبت داده می شود که توسط باکتری جذب می شود.

نتیجه گیری:

نانوذرات CuO:Fe با گستره ای اندازه $(30-60 \text{ nm})$ با موفقیت توسط روش سل-ژل در دمای 40°C تهیه شدند. تاثیر افزودن ناخالصی آهن در ویژگی های ساختاری و ضد باکتری نمونه ها